

**造船 및 海運에 관한 세미나**

**操縱性 試驗法에 對하여**

沈 長 燮\*

지금까지 操縱性 試驗이라면 旋回 試驗에 局限된 것으로 생각했다.

近來 船舶의 操縱에 對하여 많은 研究가 行하여져 旋回性, 進路 安定性 및 追從性의 總合인 것을 操縱性 이라고 부르게 되었다. 旋回 試驗은 가장 널리 알려진 것이다. 이때 35° 旋回는 緊急할 때 船舶의 最大 回頭 能力을 알 수 있는 것이 重要하다. 그러나 이 외에 10°, 15° 등과 같은 常用舵角에 걸친 廣範한 資料가 必要 하다.

한편, 實際 操船의 狀況의 생각하면 旋回 試驗과 같이 一定 舵角을 長時間 維持시키고, 또 비교적 작은 角度로서 port & stb'd 로 操舵한다. 따라서 操縱性 試驗에서도 이것에 類似한 操船을 行하고 이 結果를 解析하여 旋回 試驗 보다도 實情에 맞는 操縱性의 資料를 얻는 것을 생각한다. 특히 course-keeping 을 爲하여 通常 5° 以內의 操舵 및 普通 操船에 使用하는 10°~15°에 對한 追從性과 進路 安定性을 알기 위하여서는 大舵角旋回 試驗은 有效하지 않다.

Z 試驗은 이 目的을 達成시키기 爲하여 旋回 試驗과 併行시켜 大舵角의 回頭 能力과 一般 操縱性의 兩者를 포함한 完全한 操縱性能의 調査를 行한다.

最近 船舶의 大型化에 따라서 操舵에 對한 保針性이 重要視되고 있다. 이 경우에 특히 Z 試驗의 重要도가 높다.

spiral 試驗은 進路 安定性을 調査할 目的으로서 특히 進路 不安定한 船舶에 對하여 그 不安定의 程度를 確認하고 必要한 對策을 세우는 가장 信賴性이 높은 試驗法이다.

前後進 試驗은 船舶의 加速, 減速 및 停止 등의 性能을 얻는 試驗으로 港內에서 危險防止의 見地에서 重要性이 있다.

一般的으로 試驗時의 注意事項은 다음과 같다.

- 1) 載貨 狀態는 滿載狀態가 要望되나 撤積 貨物船 或은 鑛石 運搬船 등과 같이 滿載 狀態가 困難한 것은 適當한 ballast 狀態로 하는 것이 要望된다.
  - 2) 試驗時의 水深은 draft의 5倍 以上 이어야 한다.
  - 3) 舵角의 計測은 操舵機의 눈금이 가장 正確한 Selsyn motor 등을 利用하는 wheel house의 舵角 指示器는 使用하여도 좋으나 操舵 stand에 있는 舵角 指針은 實際로 不正確하므로 使用해서는 안된다.
- 各 試驗方法은 下記와 같다.

**A) 旋回 試驗(Turning Test)**

a) 船體 重心에서 既知의 距離에 測角盤을 設置하여 行하는 方法

\* 正會員: 大韓造船公社

b) compass 에 의한回頭角과 投木에 의한船速計測에서航跡을求하는方法이 있다.

a)의 경우는 現在 널리 使用되어 經驗한 事實이지만 buoy 가 風, 潮流의 影響으로 若干 移動되며 旋回徑이 큰 船舶의 旋回 試驗을 行할 때 buoy 가 뚜렷이 잘 나타나지 않는다. 이러한 難點을 解決하기 爲하여  $L=100\text{ m}$  以上の 船舶에서는 b)의 方法이 適合하다고 생각한다.

a)의 試驗法은 略하고 b)의 試驗法에 關하여 생각 하기로 한다. 機關出力은  $4/4$ 로서 船速을 整定하고 Fig. 1 에서와 같이  $X$  方向으로 直進하고 있는 船舶이 0 點에서 操舵 命命을 받았다고 하자.

回頭角이  $1^\circ, 15^\circ, 30^\circ \dots$  될 때 까지 stop watch 로서 時間을 計測한다. 이와 같은 時間에 兩舷에서 投木으로 船速을 計測한다.

回頭角이  $1^\circ$  될 때

$$X \text{ 方向 進行 距離} = \int_0^t v \cos 1^\circ dt$$

$$Y \text{ 方向 進行 距離} = \int_0^t v \sin 1^\circ dt$$

回頭角이  $30^\circ$  될 때

$$X \text{ 方向 進行 距離} = \int_0^t v \cos 30^\circ dt$$

$$Y \quad \quad \quad = \int_0^t v \sin 30^\circ dt$$

.....  
.....

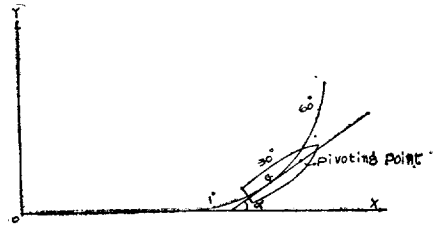


Fig. 1

$v$ : 兩舷에서 計測한 平均 船速 (knot)

$t$ : 回頭角이 所定の 角이 될 때 計測한 時間 (sec)

이와 같이 各點이 求하여지면 軌跡은 pivoting point 의 軌跡이다.

船體 重心에서  $0.4L$  前方에 pivoting point 가 있는 것을 考慮하여 圖式으로 求한다.

### B) Z 試驗 (Kempf Test)

舵角을  $5^\circ \sim 15^\circ$  範圍內에서 大略 行하며 操縱性 指數  $K', T'$  를 求하여 安定性 및 追從性을 判斷한다.

船舶의 操縱性은 旋回力을 表示하는  $K$  와 quick responsibility 를 表示하는  $T$  의 2개의 指數로서 말할 수 있다.

- 1) 큰  $K$  와 작은  $T$  를 갖는 船舶은 어느 경우에도 좋은 性能을 갖는다.
- 2) 작은  $K$  와 작은  $T$  를 갖는 船舶은 큰  $K$  와 큰  $T$  를 갖는 船舶에 比하여 旋回 運動의 初期에 있어서 좋다. 따라서 빈번한 操舵에 對하여 좋은 能力을 갖는다.
- 3) 航走中에 進路를 保持하는 能力은  $K$  에는 關係가 없고  $T$  에 依存하는 것이 많다.
- 4) 어떤 決定된 船型에 對하여 좋은 進路 安定性 (작은  $T$ ) 과 강한 旋回力 (큰  $K$ ) 를 同時에 가질려면 큰 rudder 를 가져야 한다.
- 5) fin skag 와 船首 船尾에 있어서 cut-up 等은 旋回性을 어느 程度 犧牲하여 進路 安定性을 개선 或은 逆으로 安定性을 犧牲하면서 旋回力을 強하게 하는 效果가 있다. 例로서 catcher 의 設計時 船尾를 cut-up 하는것.

以上과 같은 概念을 認識하고 操縱性指數의 實例를 表示하면 下記와 같다.

| 船種, condition         | $L_{pp} \times B \times D$ | $K$    | $T$  | $\frac{V}{L}$ | $K'$  | $T'$  |
|-----------------------|----------------------------|--------|------|---------------|-------|-------|
| tanker, full          | 201×28.2×14.6              | 0.0527 | 46.0 | 0.0437        | 1.20  | 2.01  |
| " ballast             |                            | 0.0380 | 10.6 | 0.0495        | 0.768 | 0.524 |
| tanker, full          | 181×25.4×13.5              | 0.0553 | 41.9 | 0.0484        | 1.15  | 2.01  |
| tanker, full          | 167×22.0×12.2              | 0.0521 | 33.6 | 0.0488        | 1.07  | 1.64  |
| freighter, full       | 145×19.5×12.2              | 0.0516 | 24.7 | 0.0514        | 1.00  | 1.27  |
| " light               |                            | 0.043  | 7.0  |               |       |       |
| freighter, half       | 121×16.2×                  | 0.0382 | 17.4 | 0.0424        | 0.900 | 0.738 |
| freighter, ballast    | 132×18.2×11.7              | 0.0570 | 8.22 | 0.0666        | 0.860 | 0.555 |
| freighter, ballast    | 114×16.4×9.3               | 0.0544 | 7.26 | 0.0735        | 0.74  | 0.53  |
| bulk-carrier, ballast | 152×20.6×12.7              | 0.043  | 9.99 | 0.0601        | 0.716 | 0.60  |
| fish carrier, ballast | 67×10.8×5.7                | 0.075  | 5.7  | 0.086         | 0.87  | 0.49  |
| whaler, approval      | 57×9.5×5.1                 | 0.27   | 9.9  | 0.140         | 1.9   | 1.39  |

$K', T'$  는 아래와 같이 求한다.

只今  $\psi$  : deg

$\delta$  : deg

$\dot{\psi}$  : deg/sec

$\phi$  : 回頭角

$\delta_m$  : 計測한 舵角

$\delta_m=0$  인 船舶은 完全히 直進한다고 볼 수 없다. 이 補正項을 생각하여  $\delta_r$  라고 한다.

$$\therefore \delta = \delta_m + \delta_r$$

操縱 運動의 方程式은

$$T \frac{d\psi}{dt} + \psi = K(\delta_m + \delta_r)$$

①  $t=0$  에서  $t=t_e'$  까지 積分한다.

$$\psi_{e'} = K \int_0^{t_e'} \delta_m dt + K\delta_r t_e'$$

$$t=0 \longrightarrow t_e''$$

$$\psi_{e''} = K \int_0^{t_e''} \delta_m dt + K\delta_r t_e''$$

이것을 連立하여  $K$  와  $\delta_r$  를 얻는다. 이  $K$  를  $K⑥⑧$  이라 한다.

②  $t=0 \longrightarrow t_e$

$$\psi_e = K \int_0^{t_e} \delta_m dt + K\delta_r t_e$$

①에서 求한  $\delta_r$  를 넣어서  $K$  를 얻는다. 이것을  $K④$  라고 한다.

③  $t=t_2 \longrightarrow t_e$

$$-T(\dot{\psi}_2 - \dot{\psi}_0) + (\psi_e - \psi_2) = K \int_{t_2}^{t_e} \delta_m dt + K\delta_r(t_e - t_2)$$

①의  $\delta_r$  ②의  $K④$  를 넣어서  $T④$  를 求한다.  $\dot{\psi}_2, \dot{\psi}_0$  는  $\psi$  의 기록에서 定差積分하여 求한다.

④  $t=t_4 \longrightarrow t_e', t_0 \longrightarrow t_e''$

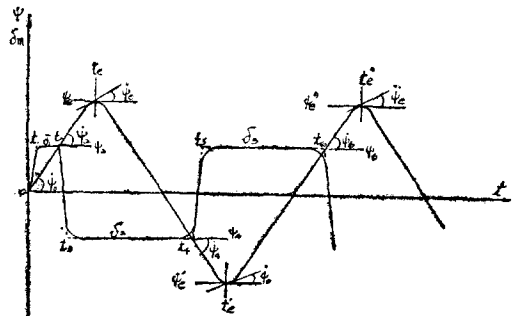


Fig. 2

$$-T(\psi_4 - \psi_0) + (\psi_e - \psi_4) = K \int_{t_4}^{t_e'} \delta_m dt + K\delta_r(t_e' - t)$$

$$-T(\psi_6 - \psi_0) + (\psi_e'' - \psi_6) = K \int_{t_6}^{t_e''} \delta_m dt + K\delta_r(t_e'' - t_e)$$

$\delta_r, K$  ⑥⑧을 넣어서  $T$ 를 얻고 이것을  $T$  ⑥⑧이라고 한다.

⑤  $K$  ④,  $T$  ④는 最初 一山の  $K, T_0$

$K$  ⑥⑧,  $T$  ⑥⑧은 다음 二山の  $K, T_0$

兩者 平均의 이 平均의  $K, T_0$

從來의 結果에서는  $K$  ⑥⑧  $T$  ⑥⑧이 가장 重要하고 船舶의 性質을 表示한다.

⑥  $K' = K \left( \frac{L}{V} \right), T' = T \left( \frac{V}{L} \right)$ 로서 無次元化한다.

$L$ : 船長(m)

$V$ : 平均速力(m/sec)

⑦  $\int \delta_m dt$ 의 定積分은  $\delta_m(t)$ 를 折線으로 近似的으로 積分한다.

$$\int_0^{t_e} \delta_m dt = \delta_1 \left( \frac{t_2 + t_3}{2} - \frac{t_1}{2} \right) + \delta_1 (t_e - \frac{t_2 + t_3}{2})$$

$$\int_{t_2}^{t_e} \delta_m dt = \delta_2 \left( t_2 - \frac{t_2 + t_3}{2} \right) + \delta_1 \left( \frac{t_2 + t_3}{2} - t_2 \right)$$

⑧ 左右 最大 角速度  $\dot{\psi}_4$ 와  $\dot{\psi}_6$ 의 크기의 平均을 取하여  $0.7 \times \frac{\pi}{180} \left( \frac{L}{V} \right)$ 을 곱하여 試驗中 角速度의 自乘平均値를 求한다.

**實際 計算例**

$L=80.00$  m  $V=8.85$  m/sec  $V/L=0.1106$  이라고 한다.

|              |                  |                  |                      |                      |                      |
|--------------|------------------|------------------|----------------------|----------------------|----------------------|
| $t_e=28.0$   | $t_e'=74.0$      | $t_e''=120$      | $\psi_e=3.10$        | $\delta_e'=31.5$     | $\psi_e''=31.0$      |
| $t_2=18$     | $t_4=61.0$       | $t_6=109$        | $\psi_2=20$          | $\psi_4=20.0$        | $\psi_6=20.0$        |
| $t_e-t_2=10$ | $t_e'-t_4=13$    | $t_e''-t_6=11$   | $\psi_2-\psi_0=1.75$ | $\psi_4-\psi_0=1.65$ | $\psi_6-\psi_0=1.55$ |
| $t_1=3.0$    | $t_2=18.0$       | $t_4=61$         | $t_6=109$            | $\delta_1=-20$       |                      |
| $t_1/2=1.5$  | $t_3=24.0$       | $t_5=67$         | $t_7=115$            | $\delta_2=+20$       |                      |
|              | $t_2+t_3=42.0$   | $t_4+t_5=128$    | $t_6+t_7=224$        | $\delta_3=-20$       |                      |
|              | $(t_2+t_3)/2=21$ | $(t_4+t_5)/2=64$ | $(t_6+t_7)/2=112$    | $\delta_4=+20$       |                      |

|                            |               |                             |               |                                  |   |  |
|----------------------------|---------------|-----------------------------|---------------|----------------------------------|---|--|
|                            |               | $\delta_1( )$               | -390          | $t_e' \int_0^{t_e'} \delta_m dt$ | $\psi_e'$                                       |  |
|                            | $\delta_1( )$ | -390                        | $\delta_2( )$ | 860                              | ⑥ $74.0 \times K\delta_r + 270 \times K = 31.5$ |  |
| $-\frac{t_1}{2}$           | -1.5          | $-(t_2+t_3)/2$              | -21           | $-(t_4+t_5)/2$                   | -64   | ⑧ $120.0 \times K\delta_r - 330 \times K = -31.5$  |
| $(t_2+t_3)/2$              | 21            | $(t_4+t_5)/2$               | 64            | $(t_6+t_7)/2$                    | 112   |  |
| (+)                        | 19.5          | (+)                         | 43            | (+)                              | 48  | ⑥ $\times 120$                                     |
| $\delta_1(+)$              | -390          | $\delta_2(+)$               | 860           | $\delta_3(+)$                    | -960  | 32400  |
|                            |               |                             |               |                                  |   | 3780   |
| $-(t_2+t_3)/2$             | -21           | $-(t_4+t_5)/2$              | -64           | $-(t_6+t_7)/2$                   | -112  | ⑧ $\times 74$                                      |
| $t_e$                      | 28            | $t_e'$                      | 74            | $t_e''$                          | 120   | -24430   |
| (+)                        | 7.0           | (+)                         | 10            | (+)                              | 8   | -2295  |
| $\delta_2(+)$              | 14.0          | $\delta_3(+)$               | -200          | $\delta_4(+)$                    | 160   | 56830  |
|                            |               |                             |               |                                  |   | $K=6075$   |
| $\int_0^{t_e} \delta_m dt$ | -250          | $\int_0^{t_e'} \delta_m dt$ | 270           | $\int_0^{t_e''} \delta_m dt$     | -330  | $K$ ⑥⑧ = 0.1068                                    |
|                            |               |                             |               |                                  |   | ⑥ $74 \times K\delta_r + 270 \times 0.1068 = 31.5$ |
|                            |               |                             |               |                                  |   | -28.8  |

|                                |       |                                |       |                                |       |   |                       |
|--------------------------------|-------|--------------------------------|-------|--------------------------------|-------|---|-----------------------|
| $(t_2+t_3)/2$                  | 21    | $(t_4+t_5)/2$                  | 64    | $(t_6+t_7)/2$                  | 112   | +0.365  | 2.7                   |
| $-t_2$                         | -18   | $-t_4$                         | -61   | $-t_6$                         | -109  | ⑧ $120 \times K\delta_r - 30 \times 0.1068 = -31.0$             |                       |
| (+)                            | 3     | (+)                            | 3     | (+)                            | 3     |   | 35.2                  |
| $\delta_1(+)$                  | -60   | $\delta_2(+)$                  | 60    | $\delta_3(+)$                  | -60   |   | 0.035 4.2             |
| $\int_{t_2}^{t_3} \delta_m dt$ | 80    | $\int_{t_4}^{t_5} \delta_m dt$ | -140  | $\int_{t_6}^{t_7} \delta_m dt$ | -100  | $K\delta_r = +0.035$  |                       |
| $\delta_r(t_e-t_2)$            | 3     | $\delta_r(t_e'-t_4)$           | 4     | $\delta_r(t_e''-t_6)$          | 4     | $\delta_r = +0.34$  |                       |
| (+)                            | 83    | (+)                            | -136  | (+)                            | 104   |   |                       |
| $K( )$                         | 10.7  | $K( )$                         | -14.6 | $K( )$                         | 11.1  | $\delta_r 0.34$   | $ \dot{\psi}_4  1.65$ |
| $(\psi_e-\psi_2)$              | -11.0 | $(\psi'_e-\psi_4)$             | 11.5  | $(\psi''_e-\psi_6)$            | -11.0 | $t_e 280$   | $ \dot{\psi}_6  1.55$ |
| $( ) - K( )$                   | -21.7 |                                | 26.1  |                                | -22.1 | $\delta_r t_e 9$  | $(+) 2.20$            |
| $\dot{\psi}_2 - \dot{\psi}_4$  | -1.75 | $\dot{\psi}_4 - \dot{\psi}_6$  | 1.65  | $\dot{\psi}_6 - \dot{\psi}_0$  | -1.55 | $\int_0^{t_e} \delta_m dt, -250[(+)/2]$                         | 1.6                   |
| $T(4)$                         | 12.4  |                                | 15.8  |                                | 14.3  | $(+) -241 0.012 \left( \frac{L}{V} \right) [ ] 0.173 = \gamma'$ |                       |
|                                |       |                                |       |                                | 15.8  | $\psi_e - 31$   |                       |
|                                |       |                                |       |                                | 30.1  | $K(4) = \psi_e(+)$  | 0.129                 |
|                                |       |                                |       |                                | 15.0  | $K(6)(8) 0.107$   | $K'(6)(8) 0.97$       |
|                                |       |                                |       |                                | 12.4  | $T(6)(8) 15.0$  | $T'(6)(8) 1.66$       |
|                                |       |                                |       |                                | 27.4  | $K_{mean} 0.117$  | $K'_m 1.07$           |
|                                |       |                                |       |                                | 13.7  | $T_{mean} 13.7$   | $T'_m 1.51$           |

이것은回頭運動의 平均的인 強弱를 表示하는 尺度이다.

### C) Spiral Test Method

前述한 것 같이 進路가 不安定한 船舶에 對하여 其程度를 알기 爲하여 施行한다.

- ① 所定の 速力을 整定하고 面舵 10° 發令하면 빠르게 10° 操舵한다.
  - ② 旋回 運動이 充分히 일어날 때까지 stop watch와 compass로써 回頭 角速度를 計測하고 回頭 運動의 整定을 기다린다.  
回頭角의 間隔은 一回의 計測 時間이 5~10 sec로 하는 것이 適當하다.
  - ③ 回頭 角速度가 整定되면 이 값을 記錄하고 同時에 舵角과 推進器 回轉數를 記錄한다.
  - ④ 面舵 5° 發令: 同一하게 計測한다.
  - ⑤ 面舵 1° " : " "
  - ⑥ 舵角 0° " : " "
- 角速度를 記錄하는데 注意하라. 이 때 船體가 緩慢한 旋回를 行하는가?
- ⑦ 取舵 1° 發令: 同一한 計測을 한다.
  - ⑧ 取舵 1°에서 右旋回가 繼續되면 2°, 3°를 順次로 發令하고 同一한 計測을 行한다.  
이 때 1°에서 試驗은 右旋回가 나타날 때까지 行한다.
  - ⑨ 左旋回가 일어나는 運動의 整定을 기다려 其角速度와 舵角을 記錄한다.
  - ⑩ 繼續해서 取舵 5° 取舵 10°를 順次로 發令하고 同様の 計測을 行한다.
  - ⑪ 取舵 5°, 1°, 0°를 發令하고 同一한 計測을 行한다.
  - ⑫ 面舵 1° 發令: 同一한 計測을 行한다.
  - ⑬ 面舵 1°에서 左旋回가 繼續되면 面舵 2°發令하고 同一한 計測을 行한다(1°에서 右旋回가 나타날 때 까지).

⑭ 右旋회가 될 때까지 運動의 整定을 기다려 角速度, 舵角을 計測하고 試驗을 終了한다.

回頭 角速度  $\dot{\phi}^\circ/\text{sec}$  를 舵角  $\delta$  에 對하여 plot 한다. 回頭 角速度  $\dot{\phi} \times L_{pp}(\text{m}) / V(\text{m}/\text{sec}) \times 57.3 = \gamma'$  라고 하여  $\gamma'$  를  $\delta$  에 對하여 plot 하면 Fig. 3 과 같이 된다.  $\delta$  는  $1^\circ = 2 \text{ mm}$ ,  $\gamma'$  는  $0.1 = 10 \text{ mm}$  의 scale 로 잡는 것이 適當하다.  $\dot{\phi}$  는 大型船에서는  $1^\circ = 50 \text{ mm}$  이렇게 하여 얻어진 曲線이 原點 부근에서 傾斜가 急增加하는 船舶은 進路 安定性이 나쁘다. (이것은 舵角의 값으로 表示된다.)

船舶의 進路不安定 程度는 loop 의 幅이  $20^\circ$  에 이르면 操縱이 困難하다.

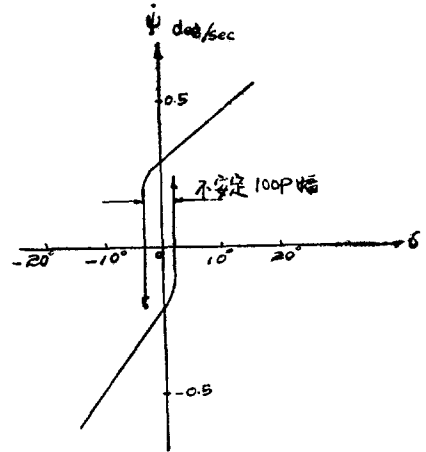


Fig. 3

### D 前後進 試驗

① 所定의 速力(4/4)를 整定한 後에 後進 發令을 하고 發令時

를 時間의 原點으로 하여 機關 停止, 機關 後進 始動, 機關 後進 整定, 船體 停止, 後進 速力 整定 等의 時間을 記錄하고 또 船首 方位와 速力을 計測한다.

後進 發令에서 試驗이 끝날 때까지 舵를 中央에 둔다.

② 後進 速力의 整定에서 前進를 發令하고 機關 停止, 機關 前進 始動, 機關 前進 整定, 船體 速力 整定 等의 時間과 船速과 船首 方位를 記錄한다.

③ 船體 前進速力이 整定되면 實驗을 終了한다.

④ 投木의 빈도를 많이 함으로서 船速을 正確히 測定하는 것이 要望되나  $3.5\sqrt{L}(\text{sec})$  程度가 適當하다.

一般의 操縱性이라고 하면 旋回性 操舵에 對한 追從性, 進路 安定性을 말하며 三要素라고 부른다.

앞으로 國內 大型船建造에 對備하여 操縱性 試驗에 特別한 注意를 기울여야 할것은 물론 經濟的이고 合理的인 統一된 方案이 있어야 할것이라고 생각한다.